

## روش نوین برای مطالعه پلهای معلق تحت اثر بار مرده

### (کاربرد تفاوت‌های محدود برای مطالعه مجموعه‌های منظم ساختمانی)

نوشته :

مهدی سعادت پور      تقی صابری

دانشجویان دوره مهندسی

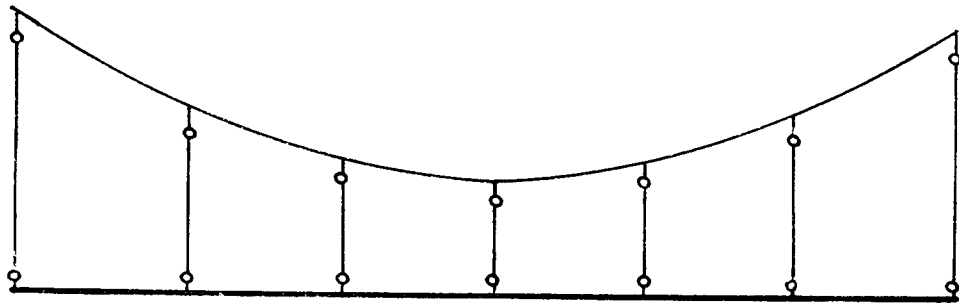
دانشکده مکانیک دانشگاه صنعتی آریامهر

خلاصه :

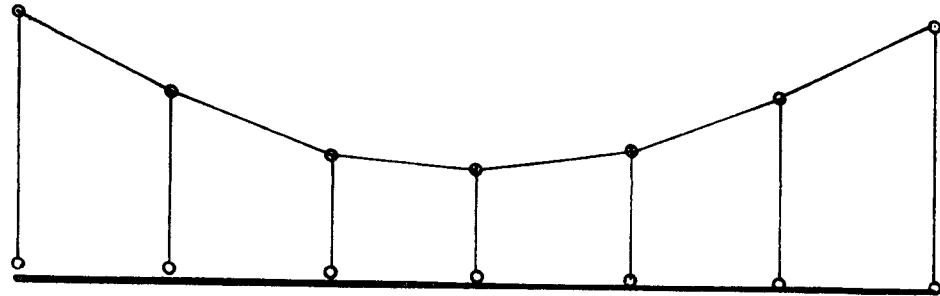
منظور از پیشنهاد و حل این مساله ارائه فرمولی است که بتوان توسط آن بطور مستقیم شکل کابل پلهای معلق را تحت بار مرده برحسب تعداد آویزها و همچنین در تیر اصلی مقادیر لنگر خمشی و نیروی برشی را در نقاط اتصال مشخص نمود - برای حصول چنین روابطی از ریاضیات تفاوت‌های محدود استفاده میشود ابتدا تجزیه و تحلیل تیر اصلی مورد مطالعه قرار میگیرد و سپس با نتایجی که از این تجزیه و تحلیل گرفته میشود کابل اصلی پل تحت مطالعه قرار میگیرد. پس از آن برای فهم بیشتر مسئله مثالهایی آورده میشود حل این مثالها بخوبی نقش چنین ریاضیاتی را در حل این نوع مسائل آشکار میگرداند.

مقدمه :

پلهای معلق یکی از مجموعه‌های ساختمانی نامعین میباشد که اگر تجزیه و تحلیل آنها از روشهای کلاسیک موجود مورد مطالعه قرار گیرد بعلت بالا بودن درجه هیپراستاتیکی با اشکالات زیادی مواجه میشویم که حل عمومی مسئله را غامض میگرداند، در نتیجه برای اینکه بتوان مسائل مربوط به چنین پلهایی را باسانی حل نمود تاکنون فرض مینمودند تعداد قلابهای آویز خیلی زیاد میباشد و یا بعبارت دیگر بار مرده پل بطور یکنواخت به کابل اصلی اعمال میشود و بر مبنای چنین فرضی شکل اصلی کابل بصورت سهمی پیشنهاد میشود (شکل ۱) بدیهی است حل مسئله با چنین فرضی و مخصوصاً برای تعداد کمی از آویزها صحیح نبوده، زیرا عملاً شکل کابل در نقاط اتصال شکسته میباشد (شکل ۲) و نتایجی که بر مبنای چنین فرضی حاصل میشود دور از حقیقت میباشد.



شکل ۱ - سهمی پیوسته

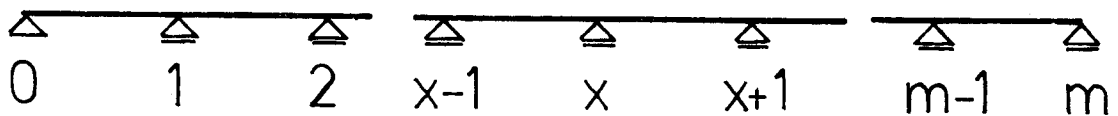


شکل ۲ - شبه سهمی (شکسته)

چون استفاده از پلهای معلق که شامل دو قسمت اصلی، کابل باصلبیت خمشی صفر و وزن قابل گذشت، و تیر اصلی باصلبیت خمشی زیاد، روز بروز افزونی مییابد لازم بنظر میرسد که راه حل دقیقتر و همچنین سادهتری برای حل این نوع مجموعهها ارائه گردد که توسط چنین روشی بتوان با عملیات سادهتری به نتایج دقیقتری دسترسی پیدا نمود و طرح مقدماتی پل را بر مبنای آن مطالعه نمود.

### روش حل :

چون طرح مقدماتی پلهای معلق بر مبنای میباید که در سطح اتصال قلابها به پل اصلی هیچ نوع تغییر مکانی در جهت قائم بوجود نیاید بنابراین میتوان در مطالعات ابتدائی تیر ممتد چنین پلی را توسط (شکل ۳) نشان داد.



شکل ۳ - تیر ممتد پل

همانطور که در شکل فوق نشان داده شده است چنین تیر ممتدی روی  $m+1$  تکیه گاه قرار دارد که از این تعداد تکیه گاهها  $m-1$  عدد از آن مربوط به قلابهای آویزان میباید و دو تکیه گاه دیگر مربوط به پایه های طرفین میباید، فاصله تکیه گاهها از همدیگر مساوی میباید و این فاصله را با  $a$  نشان میدهم با توجه باینکه دهانه های پل برابر  $m$  میباید طول کلی پل از رابطه زیر محاسبه میگردد.

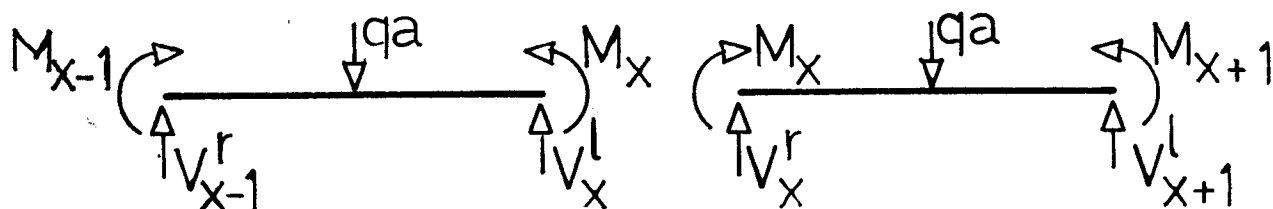
$$L = m \cdot a$$

تعداد قلابهای آویز را با  $n$  نشان میدهم و همانطور که فوقاً اشاره شد رابطه  $n = m - 1$  برقرار میباشد.

### تجزیه و تحلیل قسمتهای اصلی

#### I- تجزیه و تحلیل تیر اصلی پل

برای بررسی نیروهای مربوطه و بدست آوردن فرمولهای لازم قطعه‌ای از تیر اصلی که شامل سه تکیه گاه  $x-1$ ،  $x$  و  $x+1$  ام باشد انتخاب نموده و از وسط قطع میکنیم و تمام نیروها و لنگرهای خمشی را روی هر قسمت از آن ظاهر مینمائیم (شکل ۴).



شکل - ۴؛ دیاگرام آزاد دودهانه متوالی

تنها نیروئی که روی قطعات شکل فوق بعنوان نیروی خارجی میباشد همان نیروی  $q \cdot a$  یا بعبارت دیگر بار مرده پل میباشد که  $q$  شدت این بار مرده را نشان میدهد، در این مرحله تمام محاسبات را بر مبنای بار مرده یکنواخت انجام میدهم زیرا اثربارهای زنده نظیر نیروی وزن و سائط نقلیه نسبت به بار مرده  $q$  قابل گذشت میباشد. ضمناً با توجه به شکل ۴ میتوان نتیجه گرفت که مجموع  $V_x^L + V_x^R$  همان نیروی عکس العمل پایه  $x$  ام میباشد.

قبل از اینکه بحل اساسی مسئله دسترسی پیدا کنیم باید توجه نمود که اگر بتوان روابطی بدست آورد که بازاء مقادیر مختلف  $x$  همان خمشی و نیروی عکس العمل را در تکیه گاه  $x$  ام تیر اصلی مشخص نماید مسئله تقریباً حل شده تلقی میگردد و با استفاده از این عکس العملها میتوان نیروهای وارد به کابل و در نتیجه شکل کابل را طرح نمود برای حل مسئله حتی الامکان سعی میشود از روابطی که برای همگان مفهوم باشد استفاده شود.

در حالت عمومی رابطه سه لنگر بصورت زیر نوشته میشود :

$$M_1 \frac{L_1}{I_1} + 2M_2 \left( \frac{L_1}{I_1} + \frac{L_2}{I_2} \right) + M_3 \frac{L_2}{I_2} = (MF_{1,2} + 2MF_{2,1}) \frac{L_1}{I_1} + (MF_{2,3} + 2MF_{3,2}) \frac{L_2}{I_2}$$

در رابطه فوق  $L_1$  و  $L_2$  بترتیب طول دو دهانه متوالی و  $I_1$  و  $I_2$  سمان اینرسی دو دهانه متوالی و  $MF$  سمان درگیری را نشان میدهد.

اگر در رابطه فوق بجای  $L_1$  و  $L_2$  مقدار  $a$  و بجای  $I_1$  و  $I_2$  مقدار  $I$  را قرار دهیم رابطه زیر

بدست میآید :

$$M_{x-1} + 4M_x + M_{x+1} = -6M \quad (a-1)$$

$$MF_{x,x+1} = -q \frac{a^r}{1+r} = -M \quad \text{لنگرگیری}$$

$$L_1 = L_r = a \quad \text{طول دهانه تکراری}$$

$$I_1 = I_r = I \quad \text{سمان اینرسی یکنواخت}$$

هرگاه اپراتور جابجائی E بطریقی تعریف شود که در رابطه زیر صدق کند :

$$Ef(x) = f(x+1) \quad \text{یا} \quad E^{(-1)}f(x) = f(x-1)$$

میتوان با استفاده از این اپراتور رابطه (a-1) را بشکل زیر نوشت :

$$(E^{(-1)} + \epsilon + E)M_x = -rM \quad (a-2)$$

رابطه فوق  $M_x$  را در حالت کلی بر حسب M مشخص نموده است و نظیر چنین رابطه ای را میتوان برای عکس العمل  $R_x$  با سمان گرفتن حول نقاط  $x-1$  و  $x+1$  در شکل  $\epsilon$  بدست آورد.

$$M_{x-1} + q \frac{a^r}{r} - M_x - V_x^L a = 0$$

$$M_x - q \frac{a^r}{r} - M_{x+1} + V_x^R a = 0$$

از روابط فوق نتیجه میگیریم :

$$rM_x - M_{x-1} - M_{x+1} - qa^r + a(V_x^L + V_x^R) = 0$$

همانطور که قبلاً اشاره شد مجموع  $V_x^L + V_x^R$  برابر عکس العمل پایه x ام میباشد بنابراین :

$$rM_x - M_{x-1} - M_{x+1} - qa^r + aR_x = 0$$

یا :

$$R_x = \frac{1}{a} [rM_x + (E - r + E^{(-1)})M_x] \quad (b-1)$$

با استفاده از روابط (a-2) و (b-1) خواهیم داشت :

$$R_x = -\frac{1}{a} (1 + E + E^{(-1)})M_x \quad (b-2)$$

با استفاده از خواص سریهای محدود میتوان  $M_x$  و  $R_x$  را بشکل زیر نوشت :

$$M_x = \sum_{i=1}^{m-1} M_i \sin \mu x \quad \mu = \frac{i\pi}{m} \quad (a-3)$$

$$R_x = \sum_{i=1}^{m-1} R_i \sin \mu x \quad (b-2)$$

هرگاه مقادیر  $M_i$  و  $R_i$  مشخص شوند با تغییر دادن  $x$  در روابط فوق میتوان مقادیر  $M_x$  و  $R_x$  را بدست آورد. میتوان بسط محدود عدد یک را بشکل زیر نوشت :

$$1 = \frac{1}{m} \sum_{i=1,3}^{m-1} \cotan \frac{\mu}{2} \sin \mu x^* \quad (c-1)$$

با استفاده از رابطه  $c-1$  میتوان لنگر خمشی  $M$  را بصورت زیر نوشت :

$$M = M(1) = M \frac{1}{m} \sum_{i=1,3}^{m-1} \cotan \frac{\mu}{2} \sin \mu x \quad (c-2)$$

با استفاده از روابط  $(a-3)$  و  $(c-2)$  برای رابطه  $(a-2)$  خواهیم داشت :

$$(E + E^{(-1)} + \epsilon) \sum_{i=1}^{m-1} M_i \sin \mu x = -\frac{1}{m} M \sum_{i=1,3}^{m-1} \cotan \frac{\mu}{2} \sin \mu x$$

یا :

$$M_i (E + E^{(-1)} + \epsilon) \sin \mu x = -\frac{1}{m} M \cotan \frac{\mu}{2} \sin \mu x \quad i = 2K + 1$$

و بالاخره با استفاده از روابط مثلثاتی رابطه زیر بدست میآید :

$$M_i = -\frac{1}{m} M \frac{\cotan \frac{\mu}{2}}{2 + \cos \mu} \quad (a-4)$$

رابطه فوق را در رابطه  $a-3$  بکار میبریم تا ممان خمشی  $M_x$  بدست آید :

$$M_x = \sum_{i=1,3}^{m-1} -\frac{1}{m} M \frac{\cotan \mu/2}{2 + \cos \mu} \sin \mu x \quad (a-5)$$

رابطه فوق مقدار ممان خمشی را در هر یک از تکیه گاهها مشخص میکند ، هرگاه تیری با  $m+1$  تکیه گاه داشته باشیم با مشخص نمودن  $x$  که شماره تکیه گاه میباشد باسانی ممان خمشی از سری فوق محاسبه میگردد. برای محاسبه  $R_x$  از رابطه  $(a-3)$  و  $(b-2)$  و رابطه  $(b-2)$  استفاده میشود.

$$\sum_{i=1}^{m-1} R_i \sin \mu x = -\frac{1}{a} (1 + E + E^{(-1)}) \sum_{i=1}^{m-1} M_i \sin \mu x$$

\* - استدلال این فرمول در قسمت ضمیمه بیان گردیده است.

یا :

$$R_i \sin \mu x = - \frac{1}{a} (1 + E + E^{(-1)}) M_i \sin \mu x$$

با توجه بروابط مثلثاتی میتوان رابطه فوق را بشکل زیر نوشت :

$$R_i = - \frac{M_i}{a} (1 + 2 \cos \mu)$$

و چون در رابطه ۴- a مقدار  $M_i$  را بدست آورده ایم بنابراین :

$$R_i = \frac{12M}{ma} \frac{\text{Cotan} \mu / 2 (0 + \cos \mu)}{2 + \cos \mu} \quad (b-4)$$

با قرار دادن رابطه (b-4) در رابطه (b-3) عکس العمل پایه ها بدست میآید .

$$R_x = \sum_{i=1,3}^{m-1} \frac{12M}{ma} \left[ \frac{0 + \cos \mu}{2 + \cos \mu} \text{Cotan} \mu / 2 \right] \sin \mu x$$

یا :

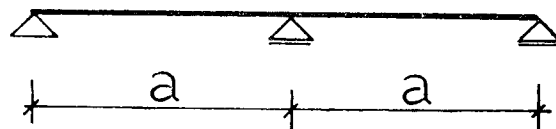
$$R_x = \frac{12M}{ma} \sum_{i=1,3}^{m-1} \frac{0 + \cos \mu}{2 + \cos \mu} \text{Cotan} \mu / 2 \sin \mu x \quad (b-5)$$

با استفاده از رابطه فوق و دانستن مقدار  $x$  میتوان عکس العمل هر یک از پایه ها را مشخص نمود ، حسن این رابطه در این است که  $m$  هر مقدار که باشد میتوان این عکس العمل را باسانی بدست آورد در صورتیکه استفاده از روشهای دیگر در هنگام زیاد بودن  $m$  خیلی مشکل بنظر میرسد .

باید توجه نمود که چون روابط (a-5) و (b-5) بادر نظر گرفتن تشابه بار مرده بدست آمده است بنابراین کافیسیت در یک تیر با  $m+1$  تکیه گاه ، عکس العمل پایه ها و همچنین سمان خمشی در تکیه گاهها را تا پایه وسط حساب نموده بقیه عکس العملها و سمانهای خمشی با عکس العمل های قبلی و سمانهای خمشی قبلی قرینه میباشند . برای نشان دادن سهولت استفاده از فرمولهای (a-5) و (b-5) باید به مثالهای زیر توجه نمود .

مثال ۱- مطلوبست نیروی عکس العمل و سمان خمشی در یک تیر تحت اثر بار گسترده  $q$  که روی

سه تکیه گاه مطابق (شکل ۵) قرار دارد .



شکل ۵

الف: محاسبه سمان خمشی در تکیه گاه شماره ۱  
 رابطه  $a=0$  را نوشته و در آن  $m$  را برابر ۲ قرار میدهیم

$$M_x = -\frac{1}{m} \sum_{i=1,3}^{m-1} \frac{\text{Cotan} \frac{\mu}{2}}{2 + \cos \mu} \text{Sin} \mu x$$

$$\mu = \frac{i\pi}{m} \quad \text{و} \quad m=2 \quad \text{و} \quad x=1$$

$$M_1 = -\frac{1}{2} M \left( \frac{\text{Cotan} \frac{\pi}{4}}{2 \cos \frac{\pi}{2}} \text{Sin} \frac{\pi}{2} \right)$$

$$M = \frac{qa^2}{12} \Rightarrow M_1 = -\frac{1}{8} qa^2$$

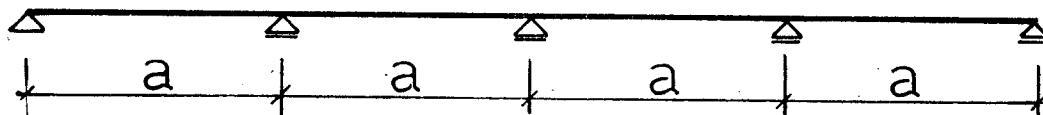
ب: محاسبه  $R_1$

برای بدست آوردن  $R_1$  از رابطه  $(b=0)$  با شرایط فوق استفاده میکنیم:

$$R_x = \frac{1}{ma} \sum_{i=1,3}^{m-1} \frac{0 + \cos \mu}{2 + \cos \mu} \text{Cotan} \frac{\mu}{2} \text{Sin} \mu x$$

$$R_1 = \frac{1}{2a} M \left( \frac{0 + \cos \frac{\pi}{2}}{2 + \cos \frac{\pi}{2}} \text{Cotan} \frac{\pi}{4} \text{Sin} \frac{\pi}{2} \right) \Rightarrow 1/206a$$

شکل ۲- مطلوبست تعیین سمان خمشی و عکس العمل پایه های ۱ و ۲ و ۳ تیر (شکل ۶):



شکل ۶

الف. محاسبه سمان خمشی - کافیت در رابطه  $a=0$  مقدار  $m$  را برابر ۴ اختیار نموده و  $x$  را بترتیب برابر ۱ و ۲ قرار دهیم، البته محاسباتی که با  $x=1$  انجام میدهیم برای  $x=2$  نیز صادق است.

$$M_x = -\frac{1}{m} \sum_{i=1,3}^{m-1} \frac{\text{Cotan} \frac{\mu}{2}}{2 + \cos \mu} \text{Sin} \mu x$$

$$x=1 \quad \text{و} \quad m=4 \quad \text{و} \quad i=1,3$$

$$M_1 = - \frac{1}{\epsilon} M \left( \frac{\text{Cotan } \frac{\pi}{\lambda}}{2 + \cos \frac{\pi}{\epsilon}} \text{Sin } \frac{\pi}{\epsilon} + \frac{\text{Cotan } \frac{3\pi}{\lambda}}{2 + \cos \frac{3\pi}{\epsilon}} \text{Sin } \frac{3\pi}{\epsilon} \right)$$

$$M = \frac{qa^r}{12} \quad \longrightarrow \quad M_1 = - \frac{3}{28} qa^r$$

مقدار  $M_2$  نیز به همین ترتیب بدست میآید :

$$x=2 \quad \text{و} \quad m=\epsilon \quad \text{و} \quad i=1,3$$

$$M_2 = - \frac{1}{\epsilon} M \left( \frac{\text{Cotan } \frac{\pi}{\lambda}}{2 + \cos \frac{\pi}{\epsilon}} \text{Sin } \frac{\pi}{2} + \frac{\text{Cotan } \frac{3\pi}{\lambda}}{2 + \cos \frac{3\pi}{\lambda}} \text{Sin } \frac{3\pi}{2} \right)$$

$$M = q \frac{a^r}{12} \quad \longrightarrow \quad M_2 = - \frac{1}{14} qa^r$$

ب - محاسبه عکس العمل پایه ها - برای بدست آوردن عکس العمل ها از رابطه (b-ه) با شرایط

فوق استفاده میشود .

$$R_x = \frac{12}{\epsilon a} \frac{qa^r}{12} \left( \frac{0 + \cos \frac{\pi}{\epsilon}}{2 + \cos \frac{\pi}{\epsilon}} \text{Cotan } \frac{\pi}{\lambda} \text{Sin } \frac{\pi}{\epsilon} + \frac{0 + \cos \frac{3\pi}{\epsilon}}{2 + \cos \frac{3\pi}{\epsilon}} \text{Cotan } \frac{3\pi}{\lambda} \text{Sin } \frac{3\pi}{\epsilon} \right)$$

$$R_1 = \frac{\lambda}{v} qa$$

مقدار  $R_2$  نیز به همین ترتیب بدست میآید :

$$x=3 \quad \text{و} \quad m=\epsilon \quad \text{و} \quad i=1,3$$

$$R_2 = \frac{12}{\epsilon a} M \left( \frac{0 + \cos \frac{\pi}{\epsilon}}{2 + \cos \frac{\pi}{\epsilon}} \text{Cotan } \frac{\pi}{\lambda} \text{Sin } \frac{3\pi}{\epsilon} + \frac{0 + \cos \frac{3\pi}{\epsilon}}{2 + \cos \frac{3\pi}{\epsilon}} \text{Cotan } \frac{3\pi}{\lambda} \text{Sin } \frac{3\pi}{\epsilon} \right)$$

$$M = \frac{qa^r}{12} \quad \Longrightarrow \quad R_2 = \frac{12}{14} qa$$

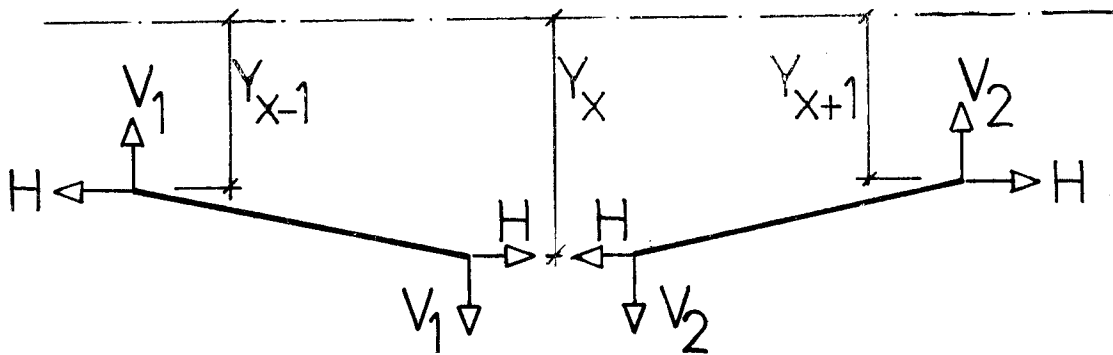
شاید در مثالهای بالا روشن شده باشد که این طریق راه حل برای بدست آوردن ممان خمشی و نیروی عکس العمل در تیرهای مستند و منظم چقدر آسان میباشد .

II - تجزیه و تحلیل کابل تحت اثر بار مرده

قبلاً گفتیم نیروی وزن پل توسط قلابهایی به کابل اصلی منتقل میشود، برای بدست آوردن شکل



کابل و رابطه آن با نیروی کششی آن دو قطعه اختیاری از کابل را در نظر میگیریم و تمام نیروها را روی آن ظاهر میکنیم، ضمناً سطح مبنائی برای اندازه گیری ارتفاع نقاط مختلف کابل در نظر میگیریم (شکل ۷).



شکل ۷ - دیاگرام آزاد کابل بین سه آویز متوالی

فرض میکنیم نیروی افقی که این دو کابل بهم وارد میکنند برابر  $H$  باشد حول نقاط  $x-1$  و  $x+1$  سمان گیری میکنیم:

$$V_1 a = H(y_x - y_{x-1})$$

$$V_2 a = H(y_x - y_{x+1})$$

از دو رابطه فوق نتیجه میشود

$$(V_1 + V_2)a = H(2y_x - y_{x-1} - y_{x+1})$$

از طرفی میدانیم  $V_1 + V_2$  همسان نیروی  $R_x$  میباشد بنابراین:

$$R_x a = H(2y_x - y_{x-1} - y_{x+1})$$

$$\frac{H}{a} (2 - E^{(-1)} - E) y_x = R_x \quad (d-1)$$

فرض میکنیم  $y_x$  توسط بسط محدود زیر نوشته شود

$$y_x = \sum_{i=1}^{m-1} Y_i \sin \mu x \quad \mu = \frac{i\pi}{m} \quad (d-2)$$

باید توجه داشت که رابطه فوق در شرایط حدی صادق میباشد.

برای بدست آوردن جمله کلی  $y_i$  از قرار دادن رابط (d-2) در رابطه (d-1) استفاده میکنیم:

$$\frac{H}{a} (2 - E^{(-1)} - E) \sum_{i=1}^{m-1} Y_i \sin \mu x = \sum_{i=1,3}^{m-1} R_i \sin \mu x$$

یا:

$$\frac{H}{a} (2 - E^{(-1)} - E) Y_i \sin \mu x = R_i \sin \mu x \Rightarrow Y_i = \frac{a}{2H(1 - \cos \mu)} R_i$$

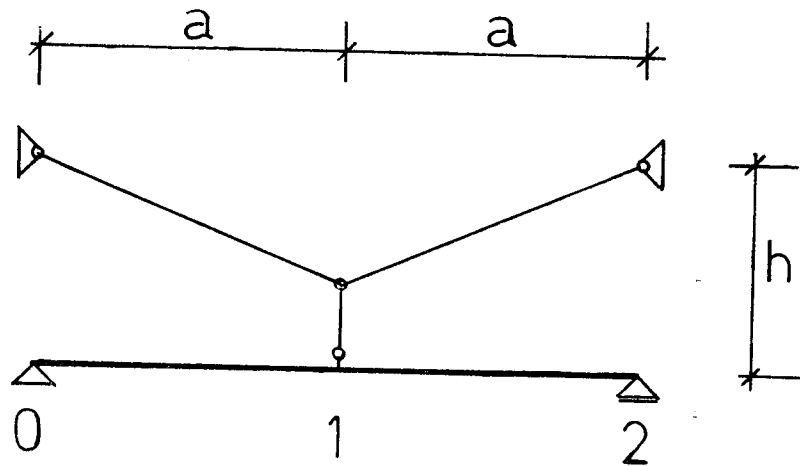
بنابراین شکل کابل برحسب نیروی افقی و تعداد آویزهای آن چنین می‌باشد :

$$y(x) = \frac{\gamma M}{mH} \sum_{i=1,2}^{m-1} \frac{(0 + \cos \mu) \cotg \mu / \gamma}{(\gamma + \cos \mu)(1 - \cos \mu)} \sin \mu x \quad (d-2)$$

رابطه فوق در محل آویزهای مختلف فاصله کابل را از سطح مبنا مشخص میکند.

مثال :

هرگاه بارگسترده‌ای مطابق شکل ۸ روی تیری بدهانه  $2a$  قرار داشته باشد و نقطه وسط این تیر توسط قلابی به کابل آویزان باشد پیدا کنید وابستگی بین نیروی افقی کابل و ارتفاع نقطه وسط کابل نسبت به نقطه کناری آن.



شکل ۸

حل :

از رابطه  $d-2$  استفاده نموده و  $y_1$  را بدست می‌آوریم :

$$y_x = \frac{\gamma M}{mH} \sum_{i=1,2}^{m-1} \frac{(0 + \cos \mu) \cotg \mu / \gamma}{(\gamma + \cos \mu)(1 - \cos \mu)} \sin \mu x$$

$$m=2 \quad \text{و} \quad x=1$$

$$y_1 = \frac{\gamma}{2H} \frac{qa^2}{(\gamma + \cos \pi/2)(1 - \cos \pi/2)} \sin \frac{\pi}{2} \quad y_1 = 0.625 \frac{qa^2}{H}$$

با مشخص نمودن نیروی کشش کابل و محاسبه  $H$  میتوان  $y_1$  را بدست آورد و همچنین ممکن است مقدار  $y_1$  داده شده باشد بنابراین باید  $H$  را بدست آورد و پس از مشخص نمودن نیروی کششی کابل مورد نظر را طرح نمود .

## مقایسه

نتایجی که از تجزیه و تحلیل قوسهای سهمی شکل تحت اثر بار گسترده یکنواخت بدست میآید سوید آنست که در این قوسها همان خمشی صفر میباشد و فقط پروفیل این قوس تحت اثر نیروی محوری قرار دارد بنابراین میتوان این قوسها را با کابلی تحت اثر بار یکنواخت مقایسه نمود ، هدف از این گفته این است که نتیجه بگیریم نیروی افقی در انتهای کابل از رابطه زیر بدست میآید :

$$H = \frac{qL^2}{8f} \quad \frac{H}{qL^2/8f} = 1$$

البته رابطه فوق برای کابلی صادق میباشد که فقط از دوانتها آویزان باشد و تحت اثر بار یکنواخت  $q$  قرار گیرد .

رابطه فوق بآسانی ثابت میشود ، اکنون رابطه  $(d-3)$  را در نظر گرفته و این رابطه را بشکل دیگری مینویسیم تا اینکه مشاهده شود هرگاه عدد  $m$  از مقدار معینی بالاتر رود عملاً میتوان شکل کابل را سهمی در نظر گرفت :

$$y_x = \frac{rM}{mH} \sum_{i=1,3}^{m-1} \frac{(0 + \cos \mu) \cot \mu / 2}{(2 + \cos \mu)(1 - \cos \mu)} \sin \mu x$$

$$M = q \frac{a^2}{12}$$

$$L = ma$$

$$\Rightarrow y_x = \frac{qL^2}{2Hm^2} \sum_{i=1,3}^{m-1} \frac{(0 + \cos \mu) \cot \mu / 2}{(2 + \cos \mu)(1 - \cos \mu)} \sin \mu x$$

که در رابطه فوق  $f$  تغییر مکان وسط کابل میباشد و ضمناً  $m$  را اعداد زوج اختیار میکنیم که بتوان  $f$  را با قرار دادن  $x = \frac{m}{2}$  در وسط کابل بآسانی حساب نمود .  
هرگاه  $m$  طوری ترقی کند که ضریب :

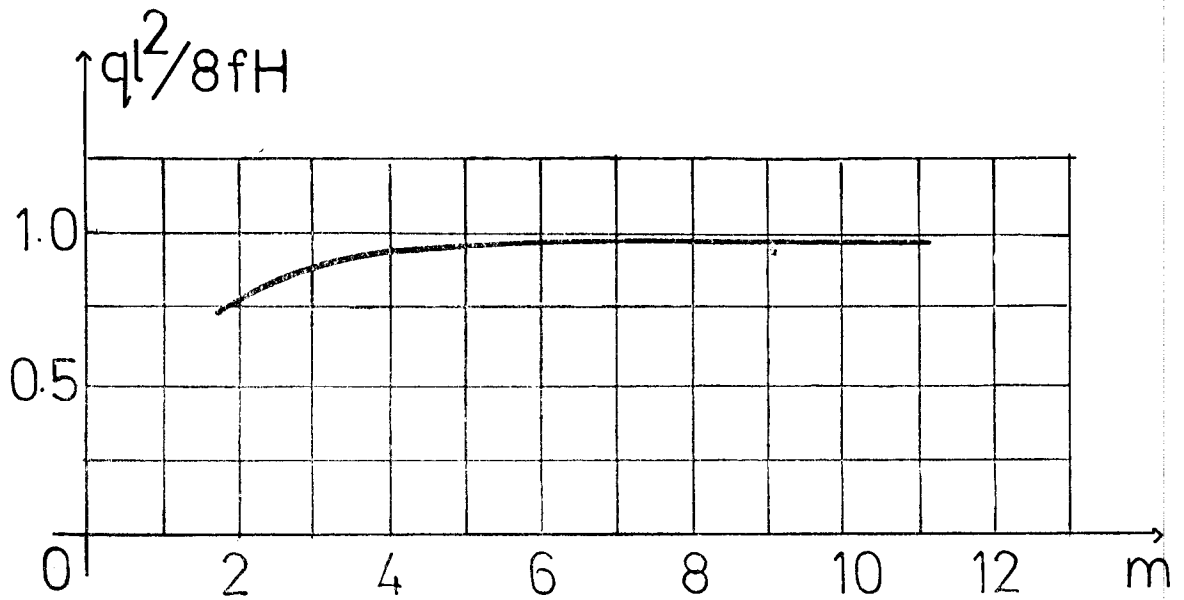
$$A_i = \frac{4}{m^2} \sum_{i=1,3}^{m-1} \frac{(0 + \cos \mu) \cot \mu / 2}{(2 + \cos \mu)(1 - \cos \mu)} \sin \frac{\mu m}{2}$$

تقریباً برابر یک شود عملاً میتوان شکل کابل را سهمی در نظر گرفت زیرا در این حالت میتوان نوشت :  
که  $H$  نیروی افقی مربوط به کابل تحت اثر بار گسترده  $q$  میباشد و درباره آن بحث شد .

جدول زیر را تشکیل میدهیم :

$m$	۲	۴	۶	۸	۱۰
$A_i$	۱٫۲۰	۱٫۰۳۶	۱٫۰۲۰	۱٫۰۱۷	۱٫۰۰۰
$1/A_i$	۰٫۸۰۰	۰٫۹۶۵	۰٫۹۸۰	۰٫۹۸۵	۰٫۹۹۰

با توجه به جدول فوق منحنی زیر را رسم میکنیم؛

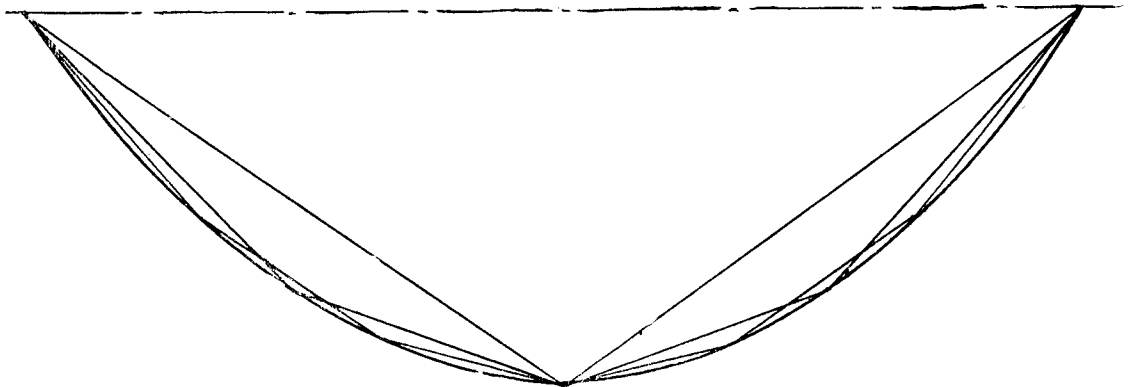


شکل ۹

بنابراین با توجه به جدول فوق میتوان نتیجه گرفت هنگامیکه  $m$  از حدود ۸ بیشتر شود خطای محاسبات قابل گذشت میشود و میتوان  $H$  را برابر  $\frac{qL^2}{8f}$  فرض نمود و یا بعبارت دیگر کابل را سهمی در نظر گرفت.

در هنگامیکه  $m=8$  میباشد خطای حاصل ۱۰٪ میباشد.

تغییرات شکل کابل بر اثر تغییرات  $m$  در (شکل ۱۰) نشان داده شده است.



شکل ۱۰ - تغییرات شکل کابل بر حسب تعداد آویزها

نتیجه

شاید با مطالعه آنچه گفته شد و مقایسه آن با روشهایی که برای تجزیه و تحلیل تیرهای نامعین تحت بار یکنواخت وجود دارد نقش ریاضیات تفاوت‌های محدود برای مارویشن شده باشد هدف از به میان آوردن این مسئله و حل آن روشن نمودن اذهان و آشنائی آن با این نوع ریاضیات میباشد تا بتوان موضوع سهمتری را

که استفاده از این روابط در حل نوع دیگری از پله‌ها می‌باشد که هنوز مورد مطالعه می‌باشد و عملاً از آنها استفاده نشده است مطرح نمود، چنین پله‌هایی که تصور معکوسی از پله‌های معلق می‌باشد جمعاً مانند تیرهای پیش فشرده عمل می‌کنند.

## ضمیمه I

### اثبات بسط محدود

$$1 = \frac{1}{m} \sum_{i=1,2,3}^{m-1} \cotg \frac{\mu}{2} \sin \mu x$$

فرض می‌کنیم بسط محدود عدد یک بصورت زیر نوشته شود. واضح است رابطه زیر در شرایط سرحدی صدق می‌کند.

$$1 = \sum_{i=1}^{m-1} A_i \sin \mu x \quad \mu = \frac{i\pi}{m}$$

برای بدست آوردن ضریب کلی  $A_i$  دوطرف تساوی را در  $\sin \frac{J\pi}{m} x$  ضرب می‌کنیم

$$\sin \frac{J\pi}{m} x = \sum_{i=1}^{m-1} A_i \sin \frac{i\pi}{m} x \sin \frac{J\pi}{m} x$$

از دوطرف رابطه حد مجموع می‌گیریم:

$$\sum_{x=1}^{m-1} \sin \frac{J\pi}{m} x = \sum_{x=1}^{m-1} \sum_{i=1}^{m-1} A_i \sin \frac{i\pi}{m} x \sin \frac{J\pi}{m} x$$

بدلیل تعامد توابع سینوسی از رابطه فوق نتیجه می‌شود که:

$$A_i = \frac{1}{m} \sum_{x=1}^{m-1} \sin \frac{i\pi}{m} x$$

اکنون رابط زیر را ثابت می‌کنیم

$$\sum_{x=1}^{m-1} \sin \frac{J\pi}{m} x = \cotg \frac{J\pi}{2m} \quad \frac{J\pi}{m} = \alpha$$

$$S = \sum_{x=0}^m e^{i\alpha x} = e^{i\alpha} + e^{2i\alpha} + \dots + e^{i\alpha(m-1)} + e^{iam}$$

$$S = e^{i\alpha} \frac{1 - e^{iam}}{1 - e^{i\alpha}}$$

$$= \frac{e^{i\alpha/r} \left[ \frac{e^{iam} - 1}{e^{i\alpha} - 1} \right]}{e^{-i\alpha/r} \left[ \frac{e^{iam} - 1}{e^{i\alpha} - 1} \right]} = \frac{e^{i\alpha/r} [e^{iam} - 1]}{e^{i\alpha/r} - e^{-i\alpha/r}}$$

مقدار S را بر حسب  $\cos am$  و  $\sin am$  مینویسیم

$$S = -i \frac{\left[ \cos \frac{\alpha}{r} + i \sin \frac{\alpha}{r} \right] [\cos am + i \sin am - 1]}{r \sin \frac{\alpha}{r}}$$

$$am = j\pi \Rightarrow \sin am = 0 \text{ و } \cos am = (-1)^j$$

$$S = -i \frac{\left[ \cos \frac{\alpha}{r} + i \sin \frac{\alpha}{r} \right] [(-1)^j - 1]}{r \sin \frac{\alpha}{r}}$$

$$j = rK \Rightarrow S = 0$$

$$j = rK + 1 \Rightarrow S = \frac{i}{\sin \frac{\alpha}{r}} \left[ \cos \frac{\alpha}{r} + i \sin \frac{\alpha}{r} \right] = -1 + i \cotg \frac{\alpha}{r}$$

بنابراین میتوان نوشت :

$$\sum_{x=1}^m \sin \frac{j\pi}{m} x = \text{Imaginary part}(S) = \cotg \frac{\alpha}{r}$$

پس میتوان نوشت :

$$1 = \frac{r}{m} \sum_{i=1,3}^{m-1} \cotg \frac{\mu}{r} \sin \mu x \quad \mu = \frac{i\pi}{m}$$